

# TERMODINÂMICA DAS SOLUÇÕES



### A partir de ε<sub>i</sub> calcula-se **e**<sub>i</sub> através das relações:

$$X_j = \frac{\%j.M_A}{100.M_j}$$

$$\varepsilon_i^j = \frac{230,3. M_j}{M_A} \cdot e_i^j + \frac{M_A - M_j}{M_A}$$

$$\varepsilon_i^j = \varepsilon_j^i$$

$$M_j \cdot e_i^j = M_i \cdot e_j^i$$

A é o solvente



# Dados termodinâmicos disponíveis para o solvente Fe:

- Referência: SIGWORTH, ELLIOTT The thermodynamics of liquid dilute iron alloys. <u>Metal Science</u>, vol.8, 1974, p.298-310.
- Apresenta as equações anteriores, com simbologia semelhante as aqui utilizadas.
- Reúne dados da literatura para os
   <u>Parâmetros de Primeira Ordem</u> (e<sub>i</sub><sup>j</sup>) e
   Segunda Ordem (r<sub>i</sub><sup>j</sup>).
- Também apresenta a função γ° e ΔG para a mudança de estado de referência.
- Alguns trechos estão reproduzidos a seguir.



First Order Interaction Coefficients, e.i., h Liquid Iron 1600°C										
i j→	Ag	Al	∆s .	Au	B	<b>→</b> ©	Ca	Се		
Ag Al As Au	(-0·04) 0·017	-0.08 0.045*		= =		0·22 0·091 0·25	-0·047 —	= .		
0000	0.028	0·043 -0·072	0 043	- - -	0·038 0·24 —	0.22	-0·097 (-0·002)	· — — —		
Cr Cr Ge	(-0·002) 			  	  	0.021 -0.12 0.000 (0.03)	- - -	- - -		
H Ha Mg		0·013 — — —	- - - -		0·05 — —	0·06 — (0·15) —0·07	  	0.0		
Nb Nb		0·028* 	0·018 —	  	0·094* —	- 0·097 0·13 - 0·49	  	=		
Ni O P		-3·9* 0·021	=	-0.005 	-2·6 	0.042 -0.45 0.13 0.066	-0·067  	(-3·) - -		
I'd t Kin S					- - 0·13	0.11				
Si Si Si		0.058			0.20	0.18	-0·067	_ _ _		



# Significado do sinal do Parâmetro de Interação e<sub>B</sub>; valor positivo na expressão de f<sub>B</sub>

$$\log f_B = \%B.e_B^B + \%C.e_B^C + \%D.e_B^D + \%E.e_B^E$$

$$\uparrow \log f_B \Rightarrow \uparrow f_B$$

Como: 
$$h_B = f_B$$
. %B

- e<sub>B</sub><sup>j</sup> positivo aumenta a atividade de B;
- desvio positivo:  $\Delta H_{\rm m} > 0$ ;
- ligações mais fracas;
- maior reatividade de B...



# Efeito da temperatura em e

		ction Coefficier	Table II nts, e <sub>i</sub> <sup>1</sup> , in Liquid Iron	as Function of Te	emperature	
<i>l</i>   <i>j</i> →	Al	В	C	Cr	N	Nb
Al	63/T +0·011	_	. —	_	1650/T −0·94	_
В		_			714/T -0·307	_
$\leftarrow$ c	. ,	_ <	158/T+ 0·0581	<b>&gt;</b> -	_	_
Cr	·			_		_
N	859 T -0·487	975/T - 0.4		-	. —	-260/T + 0.079
Nb	_	_	_		-1720/T + 0.503	_
0	-20600/T + 7.15	_	_	. –	_	_
S	_	-	_	-94.2/T + 0.0396	_	_
Si			380/T -0·023	<b>&gt;</b> -	_	
la	_	-	_		-1960/T +0·581	_
Ti		_	_	_	-13900/T +5·61	_
V	-	_	_		-1270/T +0·33	
i j→	0	S	Si	Ta	Ti	· V
Al	-34740/T +11·95		_	_	_	_



# TABLE III Second-Order Interaction Soefficierts, r.1, i Liquid Iron



\[i\]	j→	Al	• As	Au	, В	С	Се	Со	Cr	Cu
	Ag Al B C	0.0008 -0.001* -0.0007	-0·0001	=	0	-0.008 -0.004 0 0.0074*			0	0
	Ca Co Cr Cu	0·0007 — — —	_ _ _ _	<u>-</u> -	_ - -	0·012 — — —	_ _ _	0 0	<u> </u>	0 0·0001
)	H Mn N Ni	0_ 0_		= = =	0 0 -	0 0 —	<u>-</u>	0 0 	0 -0:0004	0  
	O P Pb S	0 0·0009		0 _ 0	0  0·0074	0 0 0·0058	(0) 	0 0 0	0 0·0008 0 0	0 0 0 0
	Si Sn Ti U			= =	_ _ _	- - - -	  		_ _ _	_ _ _
-	v	_		_			_		l —	l <u> </u>

<ul> <li>Note that</li> </ul>	$r_{A1}^{A1} = 0.17/T$	- 0.0011
-------------------------------	------------------------	----------

$$r_{c}^{c} = 8.94T + 0.0026$$

$$r_{\rm c}^{\rm s_1} = 1.94T - 0.0003$$

$$r_{si}^{si} = 6.5T - 0.0055$$

$i  j \rightarrow$	Ge	Н	La	Mn	Мо	N	Nb	Nd	Ni	0	P	Pd
Ag Al B							_ _ _ 0	_ _ _		  	- - 0·0041	1 1 1
Ca Co Cr Cu				= = =					0		0.0025	-

Parâmetro de Interação de 2ª ordem



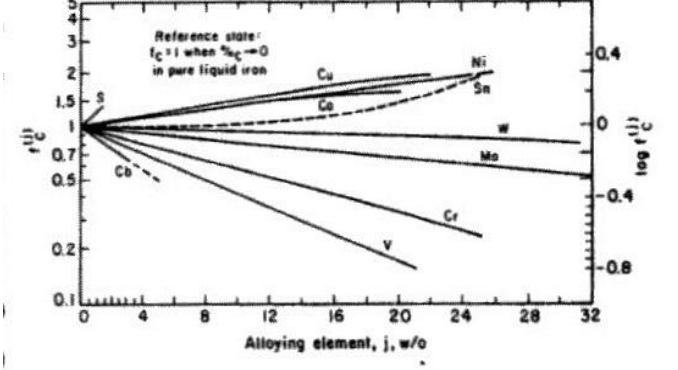
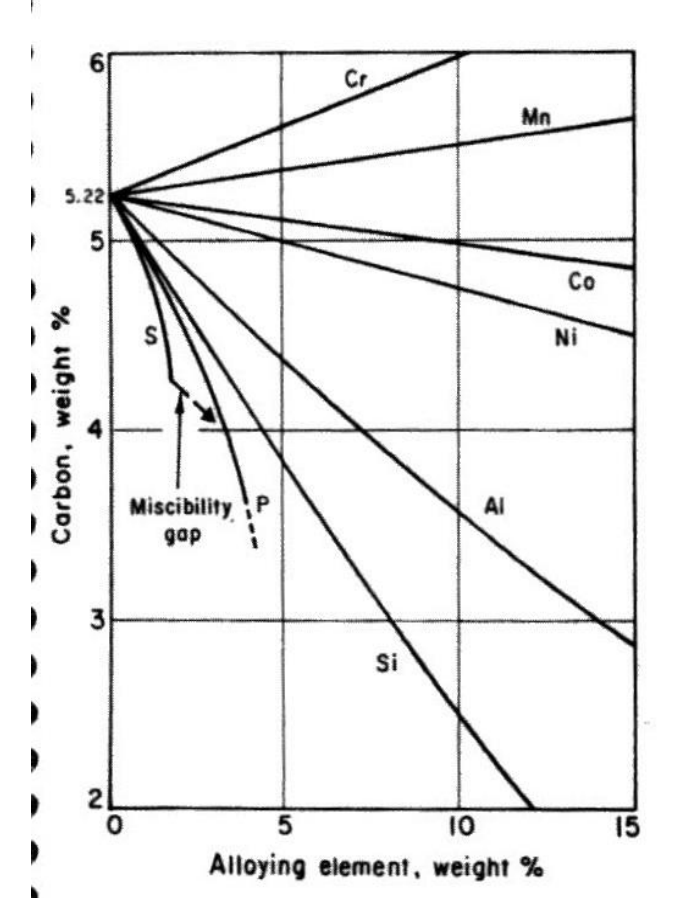


FIG. 21-13. Effect of alloying elements on the activity coefficient of carbon in liquid iron, 1560°C (2840°F). (284)



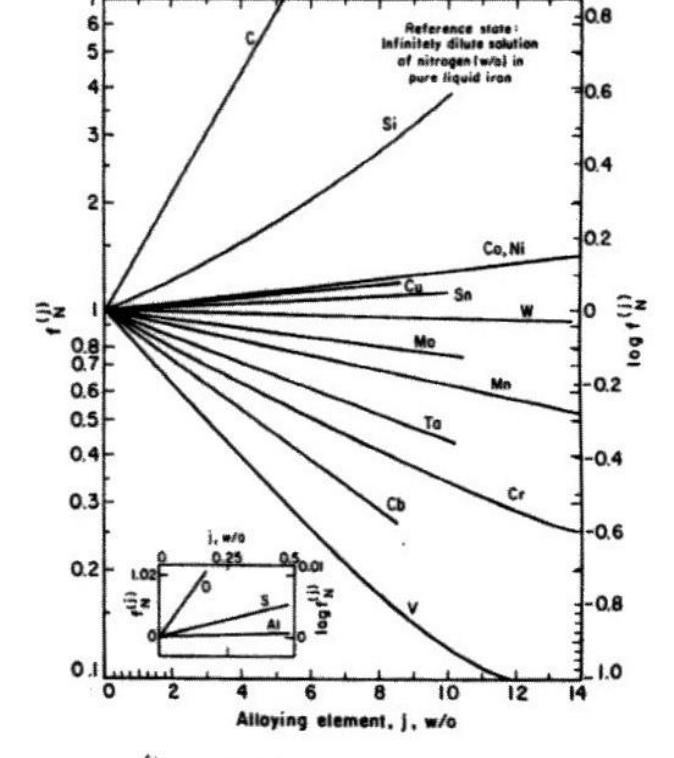
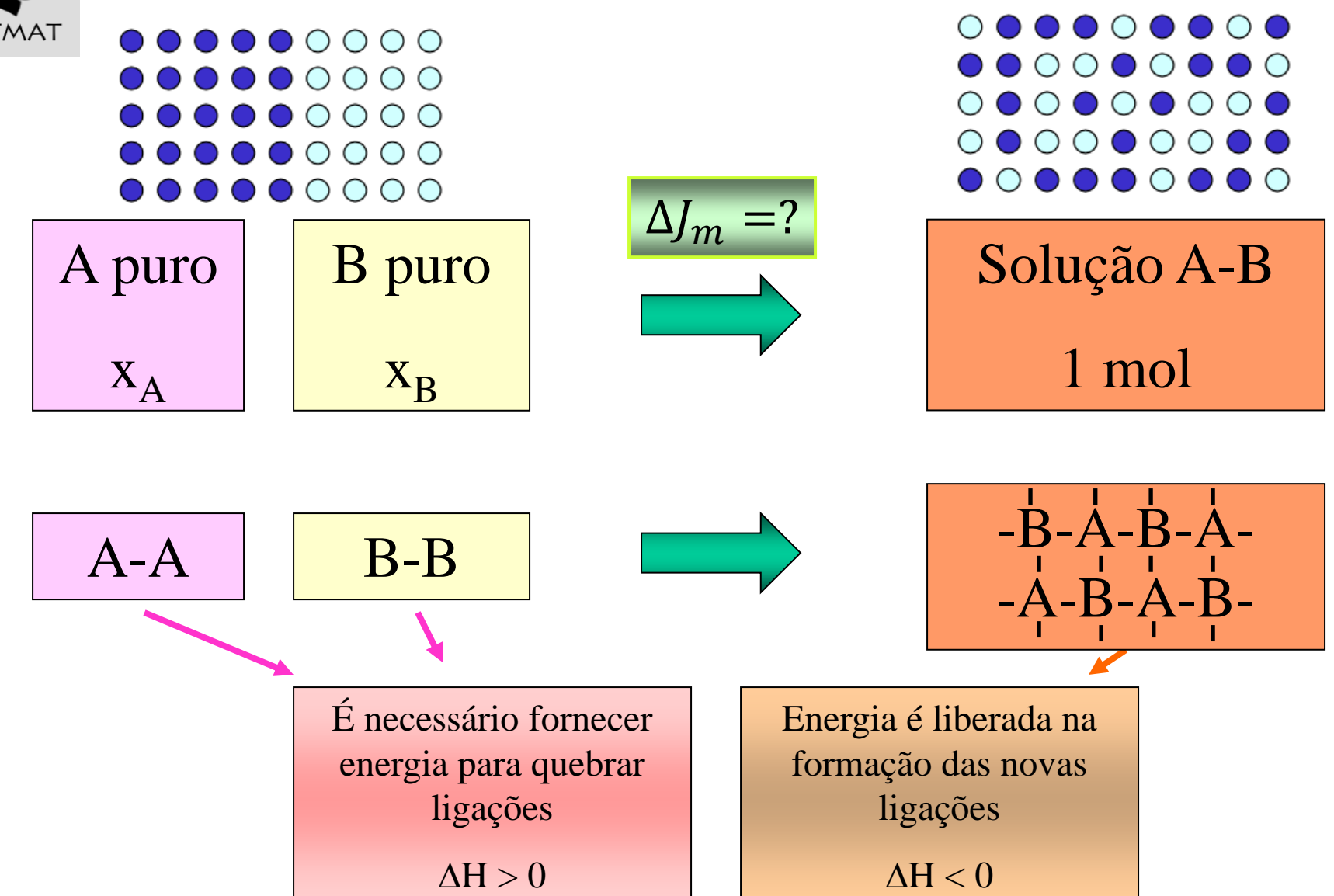


FIG. 21-15. Effect of alloying elements on the activity coefficient of nitrogen in liquid iron, 1600°C (2912°F). (Pehlke and Elliott, (3) and Schenck et al. (4))

#### Efeitos do 3º soluto no C e N

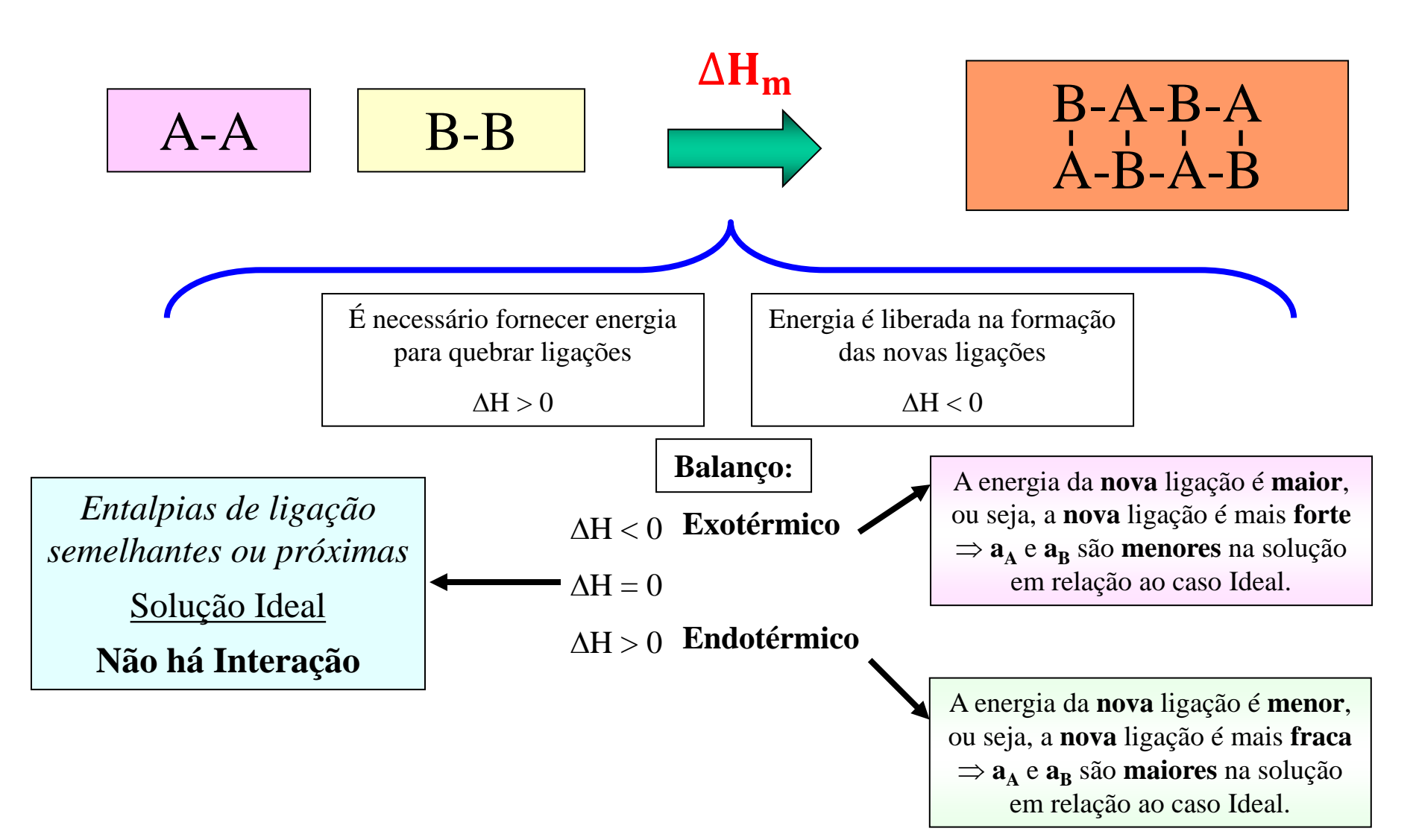


# Formação da Solução



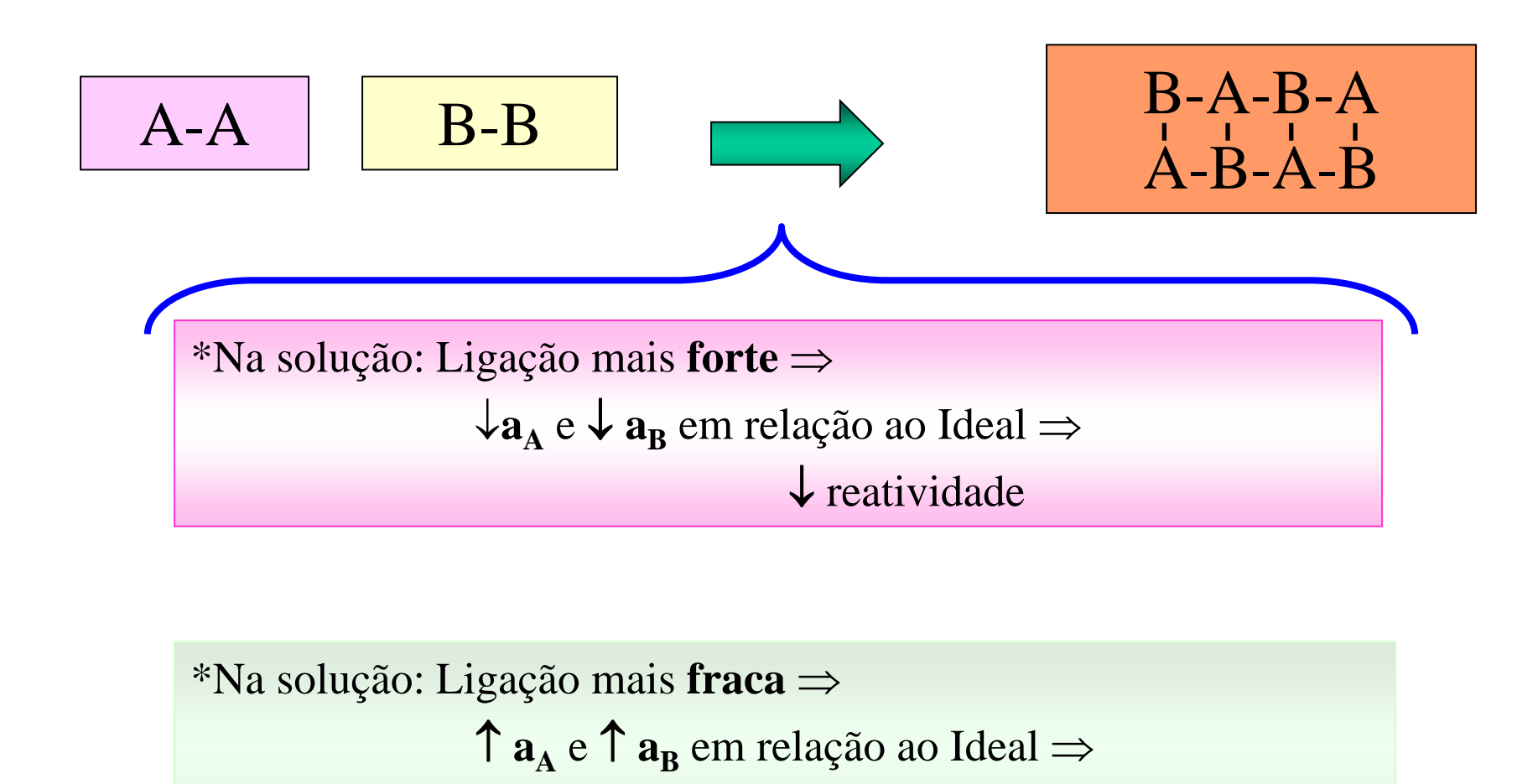


# Formação da Solução





# Formação da Solução



**Treatividade** 



# a<sub>B</sub> é proporcional à reatividade de B ou à atividade de B.

- SOLUÇÃO IDEAL:
  - reatividade de B: a<sub>B</sub> = a<sub>B,Ideal</sub>
  - $\Delta H_{\rm m} = 0$
  - A-B, A-A e B-B tem energias de ligação próximas.
- SOLUÇÃO COM DESVIO POSITIVO:
  - reatividade de B é maior do que no modelo ideal: a<sub>B</sub> > a<sub>B,Ideal</sub>
  - $\Delta H_m > 0$ ; processo endotérmico.
  - A-B tem energia de ligação fraca.
- SOLUÇÃO COM DESVIO NEGATIVO:
  - reatividade de B é **menor** do que no modelo ideal:  $a_B < a_{B,Ideal}$
  - $\Delta H_m < 0$ ; processo exotérmico.
  - A-B tem energia de ligação forte.



## Para casa

Considerando o diagrama de equilíbrio Al-H, calcule o valor do  $\Delta G^{\circ}$  de dissolução do  $H_2$  em função da temperatura num banho de Al (suponha variação linear). Faça as hipóteses necessárias. [65]

